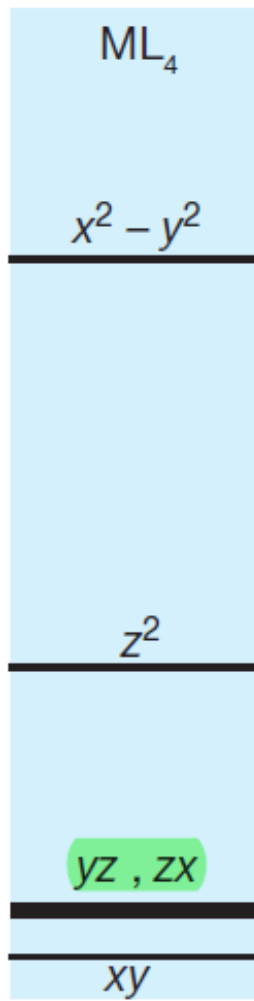
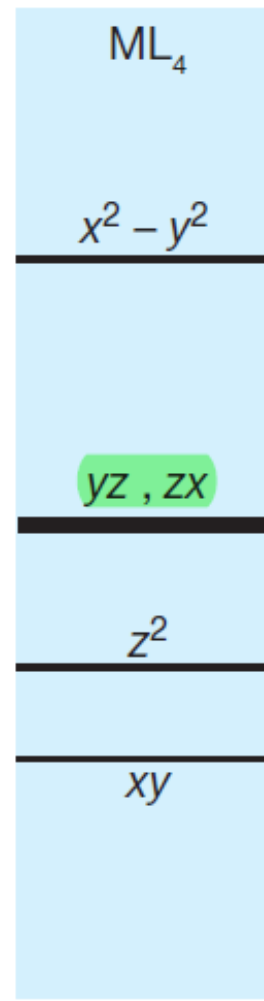
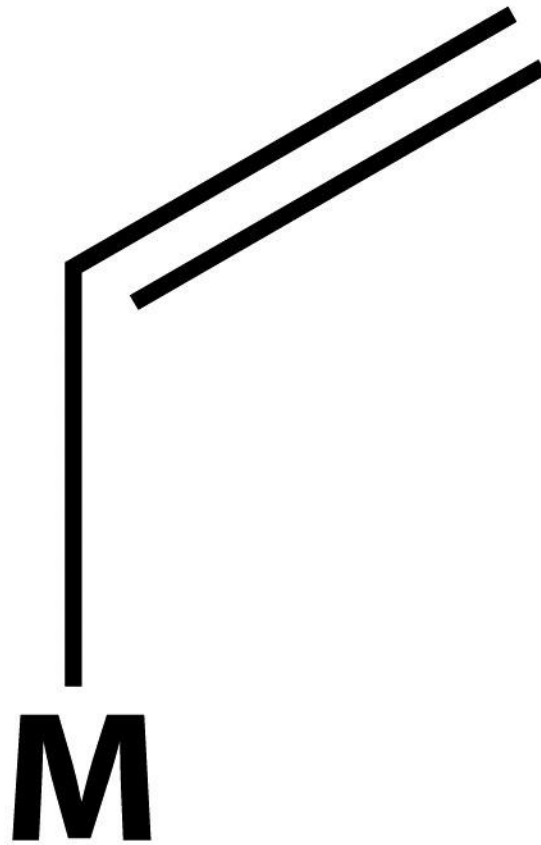


$\sigma$ -donatore  
+  
 $\pi$ -accettore



$\sigma$ -donatore  
+  
 $\pi$ -donatore





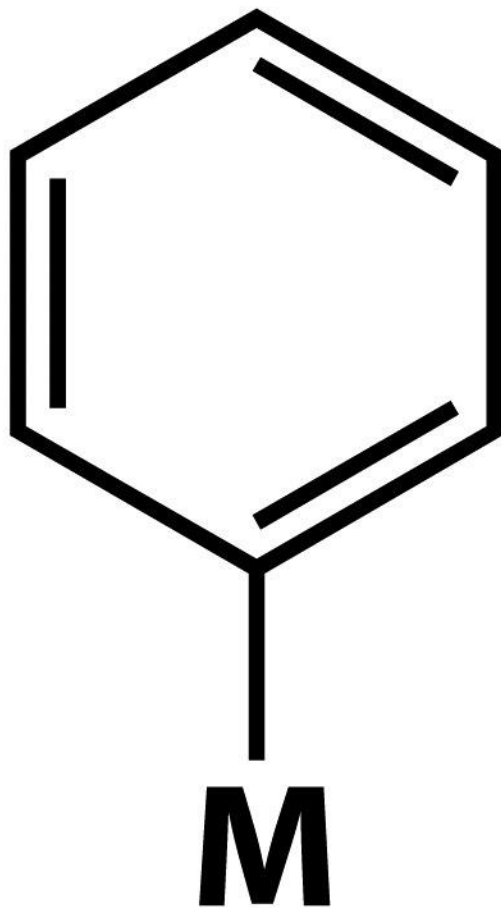
$\eta^1$ -alkenile

**R**



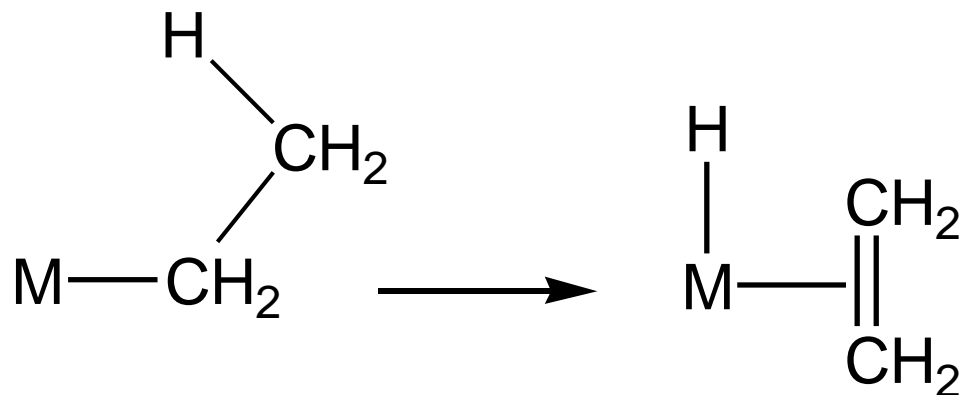
**M**

**$\eta^1$ -alchinile**



$\eta^1$ -arile

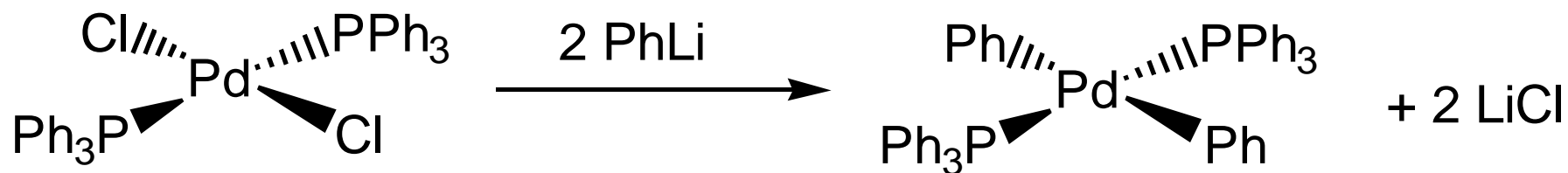
# $\beta$ -eliminazione di idruro



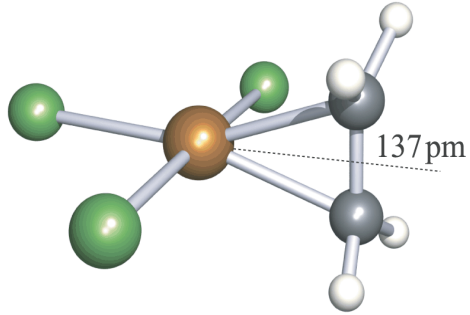
Gruppi stabili:

metile, benzile ( $\text{CH}_2\text{C}_6\text{H}_5$ ), neopentile ( $\text{CH}_2\text{CMe}_3$ ), e trimetilsililmetile ( $\text{CH}_2\text{SiMe}_3$ )

# Tipico processo di sintesi

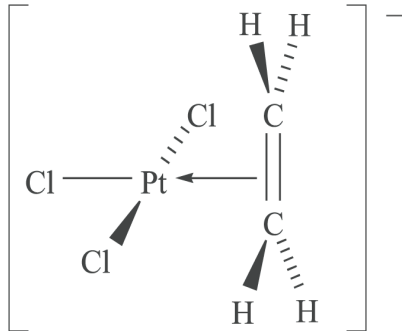


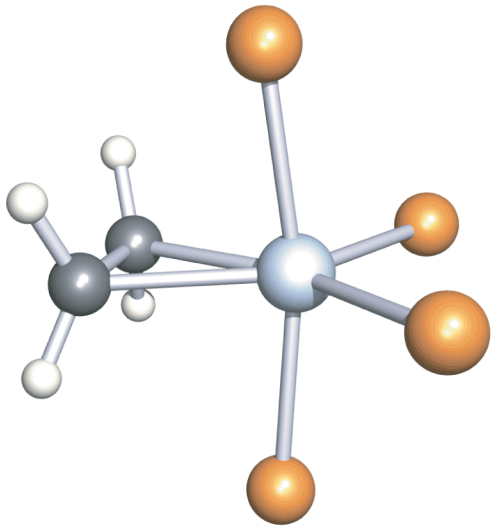
In alternativa si usano reattivi di Grignard



C-C = 137 pm vs 134 pm nell'etene

**$\eta^2$ -alchene**  
**coordinazione *side-on***



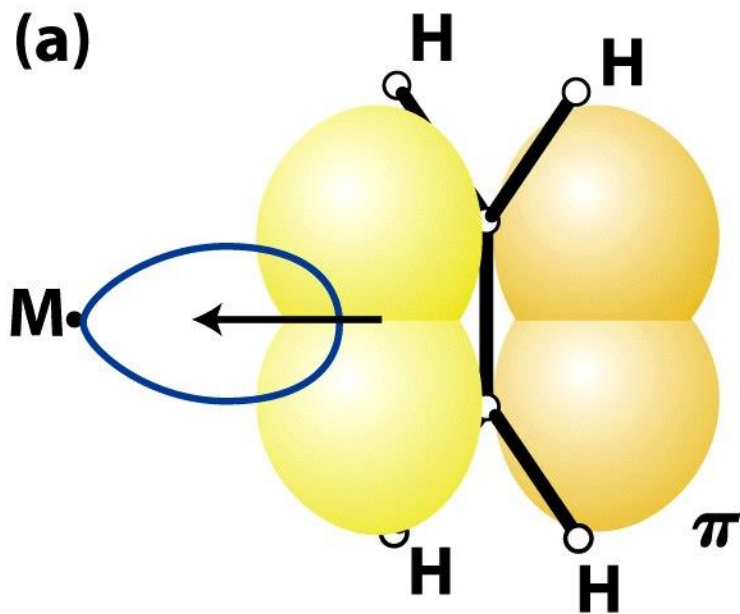


metallaciclopropano

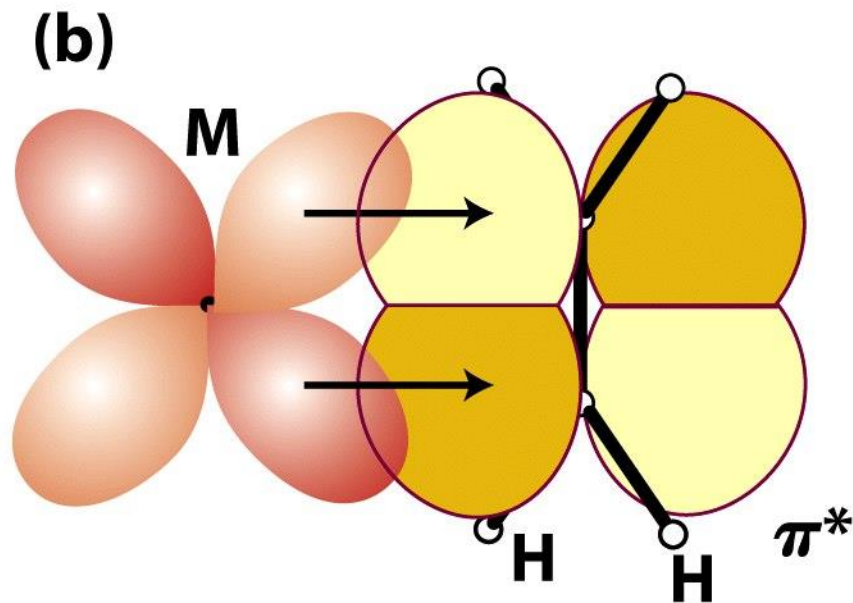
Struttura ai raggi-X di  $\text{Ru}(\eta^2\text{-C}_2\text{H}_4)(\text{PMe}_3)_4$

C-C = 144 pm vs 134 pm nell'etene

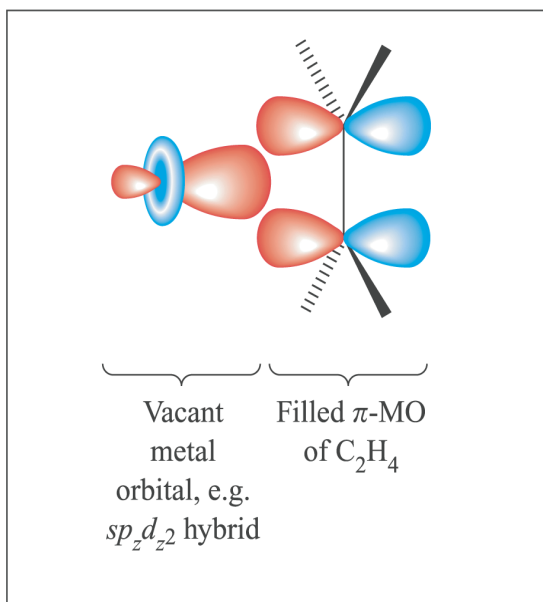
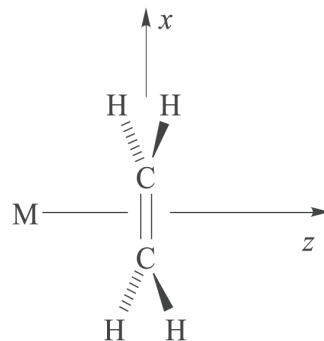




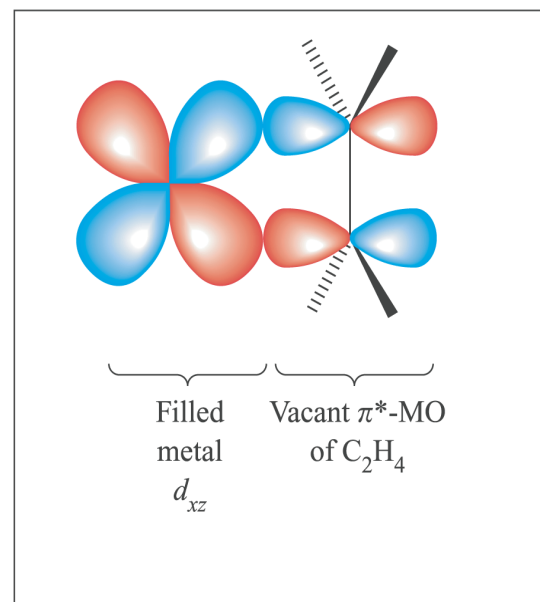
Orbitale di simmetria  $\pi$  per l'etene isolato, ma di simmetria  $\sigma$  quando l'etene è coordinato  $\eta^2$ , cioè *side-on*



**modello di Dewar – Chatt – Duncanson**



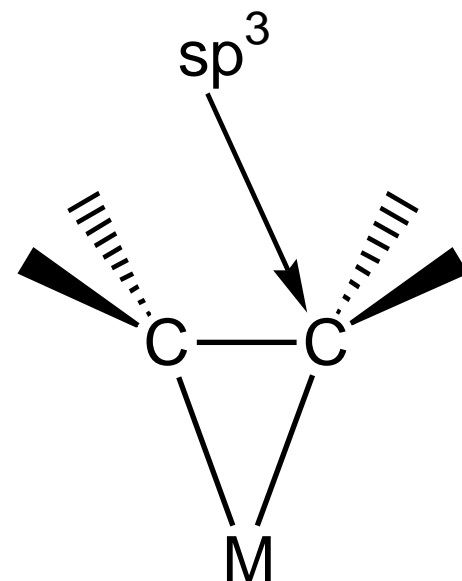
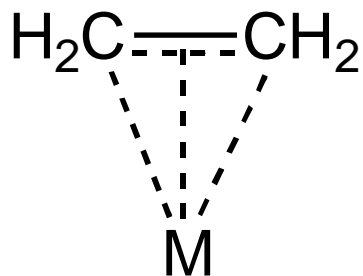
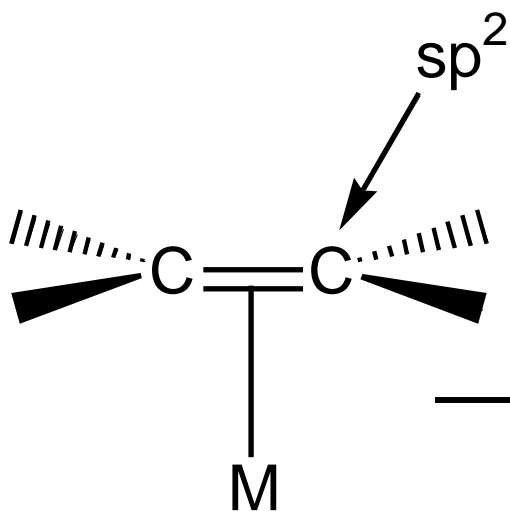
Alkene-to-M donation  
(a)



M-to-alkene back-donation  
(b)

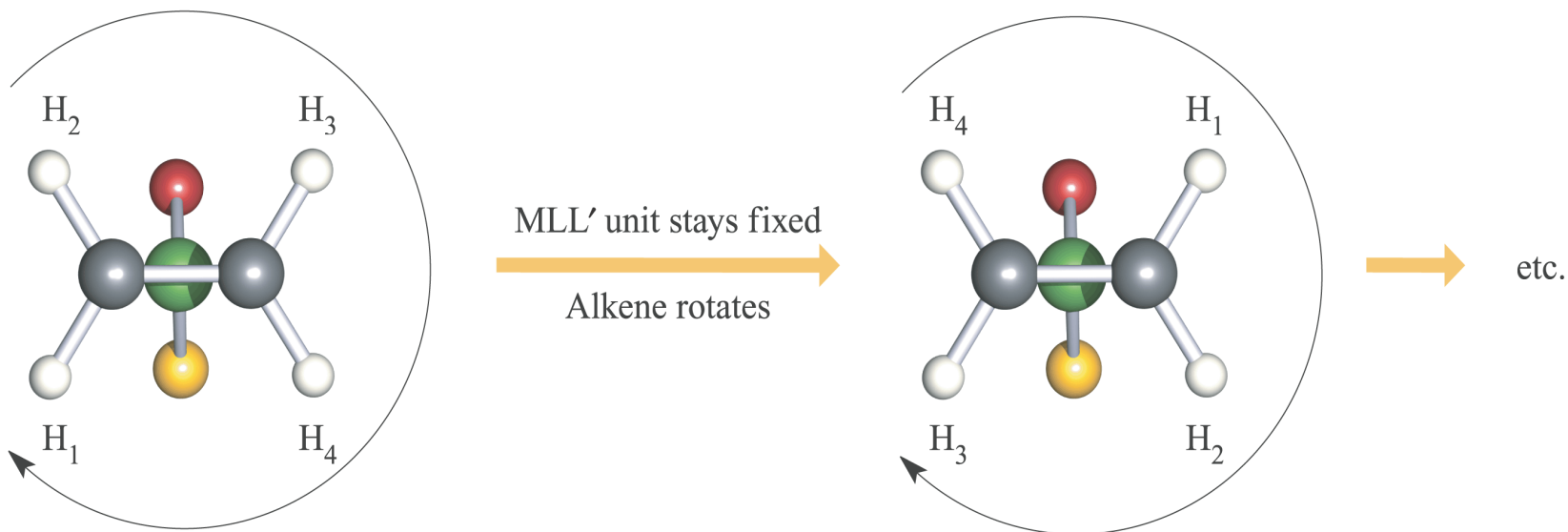
**modello di Dewar – Chatt – Duncanson**

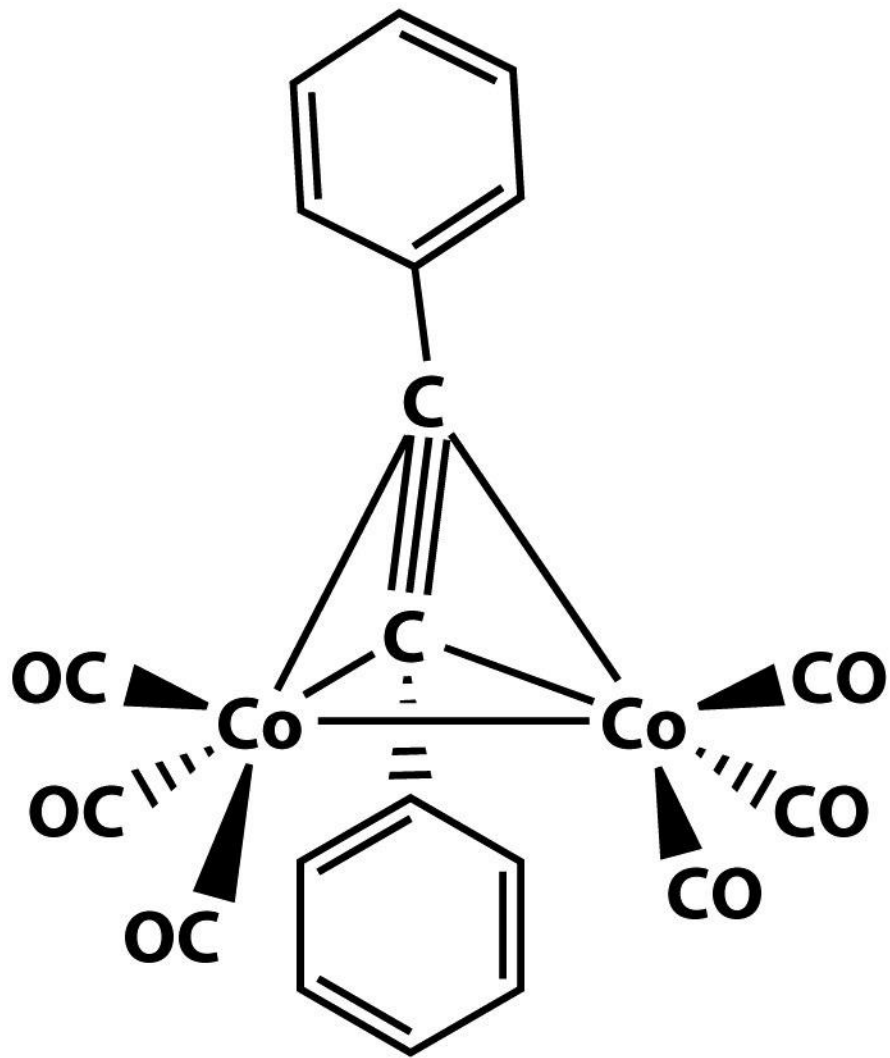
# Retrodonazione $\pi$



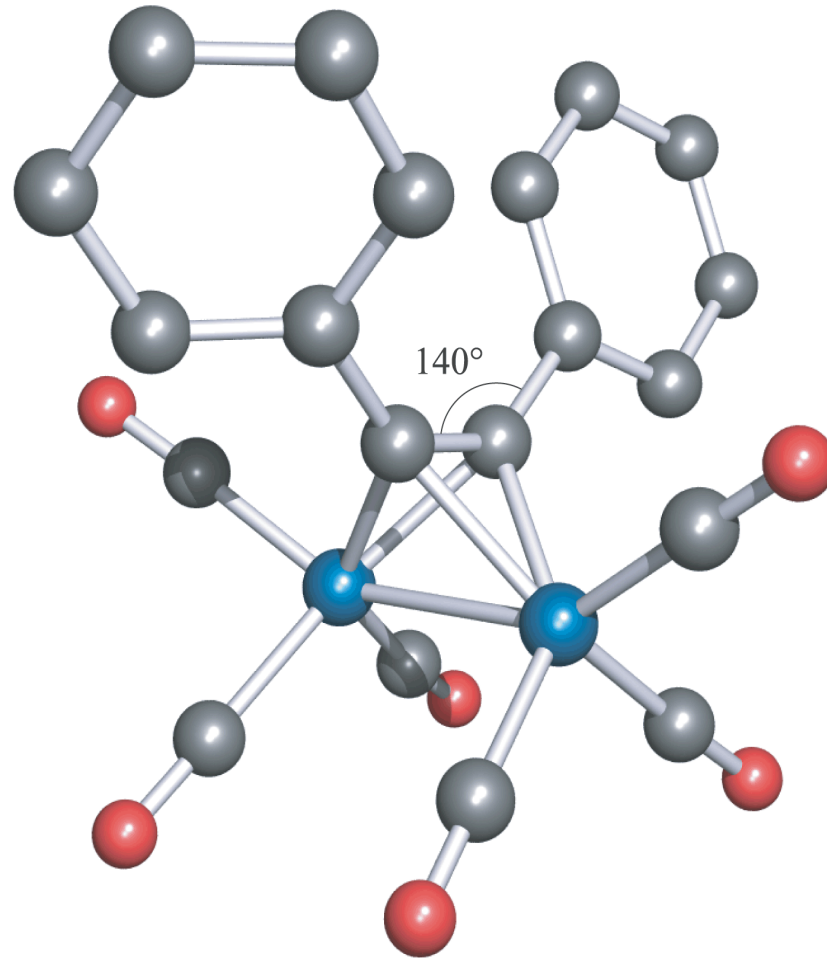
metallociclopropano

# Flussionalità del legame $\eta^2$ -alchene





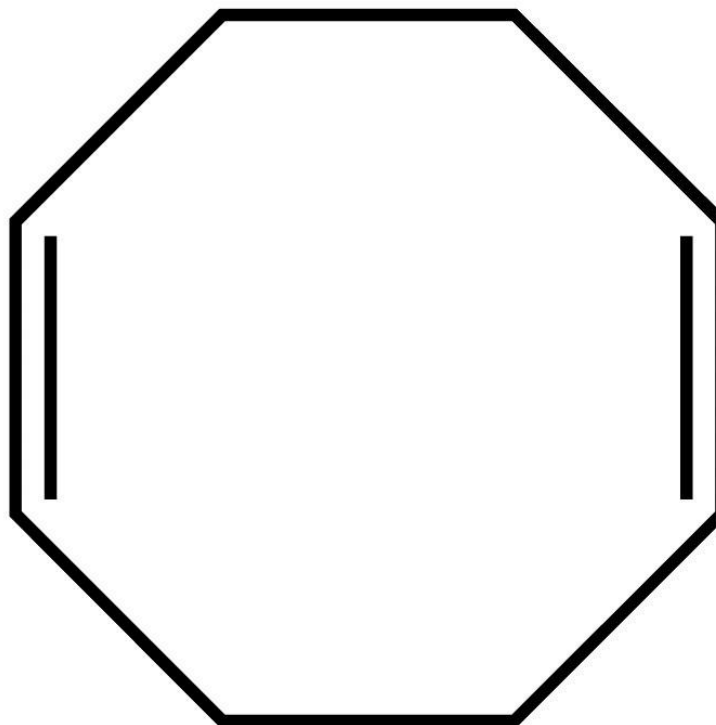
4-electron donor



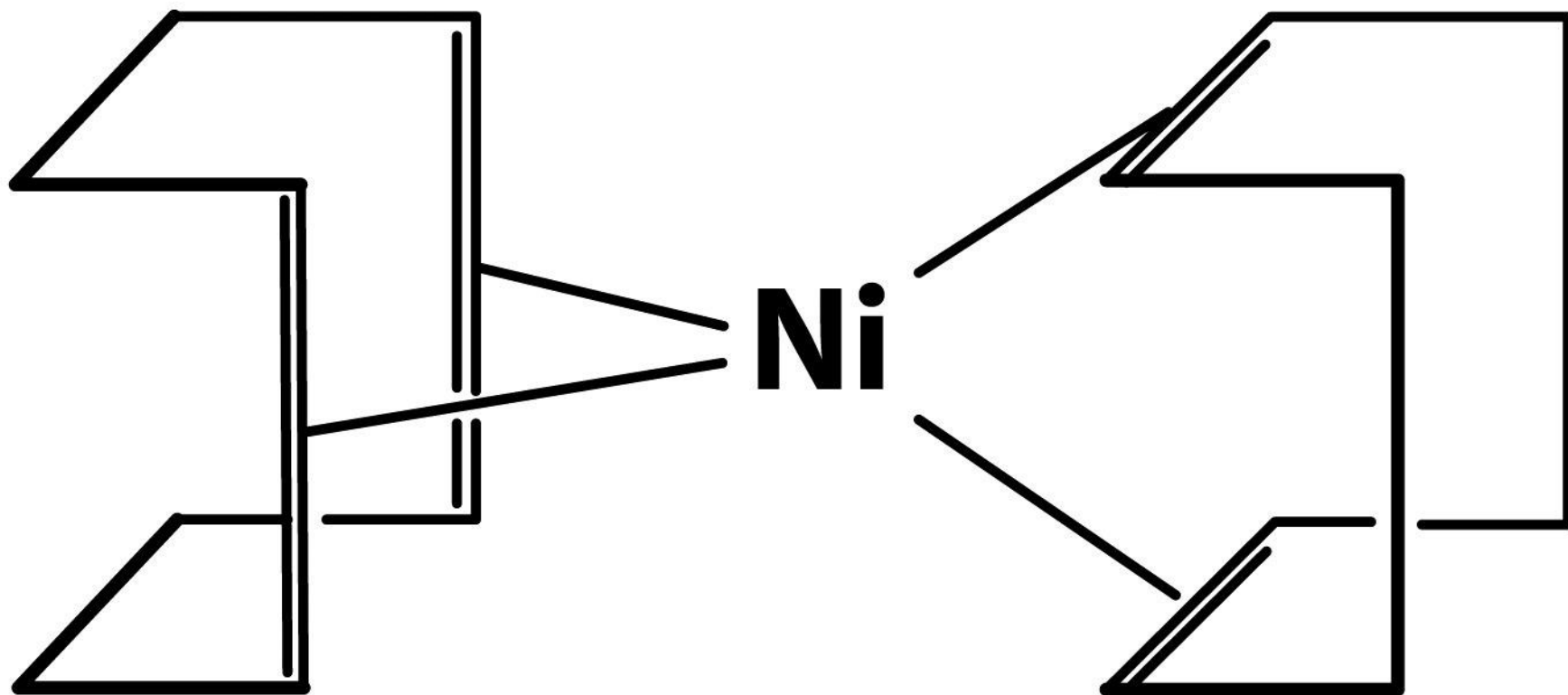
C—C in  $\text{Co}_2\text{C}_2$ -unit = 136 pm vs 120 pm in  $\text{C}_2\text{Ph}_2$

I due piani  $\text{C}_2\text{Co}$ , cioè i due legami  $\eta^2$ , sono circa ortogonali

Dieni non-coniugati

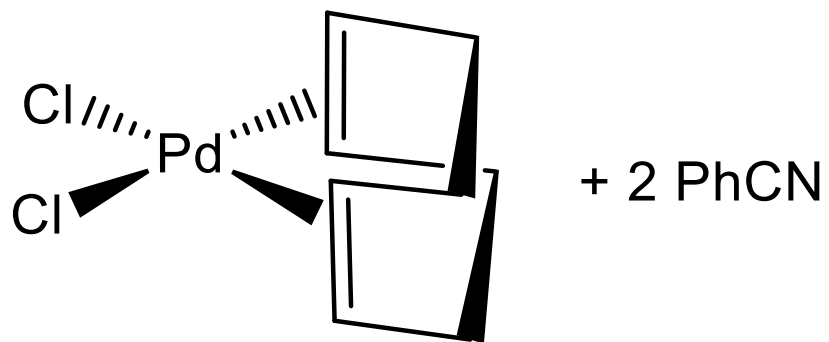
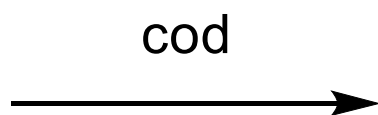
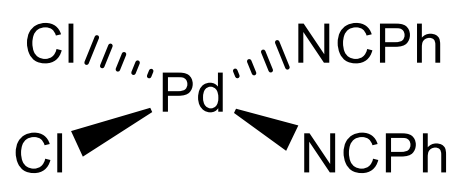


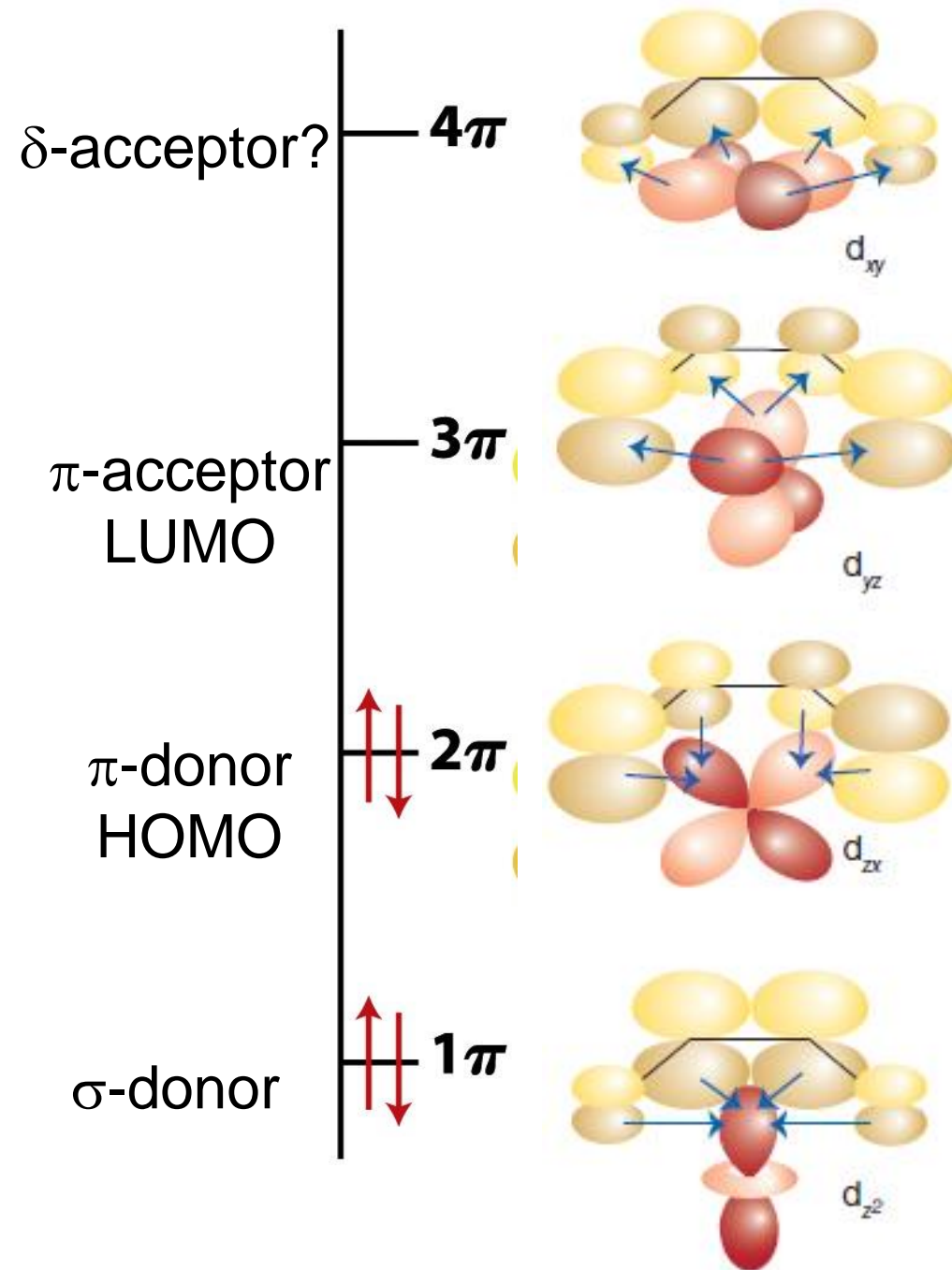
**Cycloocta-1,5-diene, cod**



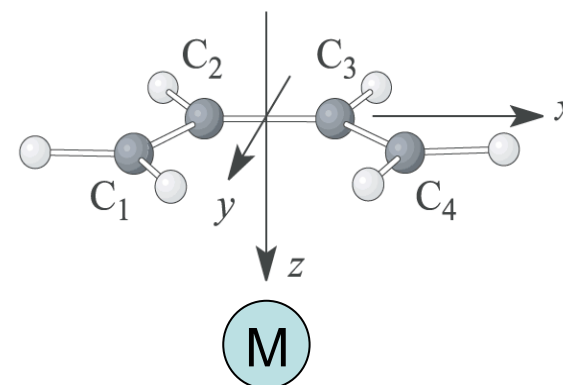
**$\text{Ni}(\text{cod})_2$**

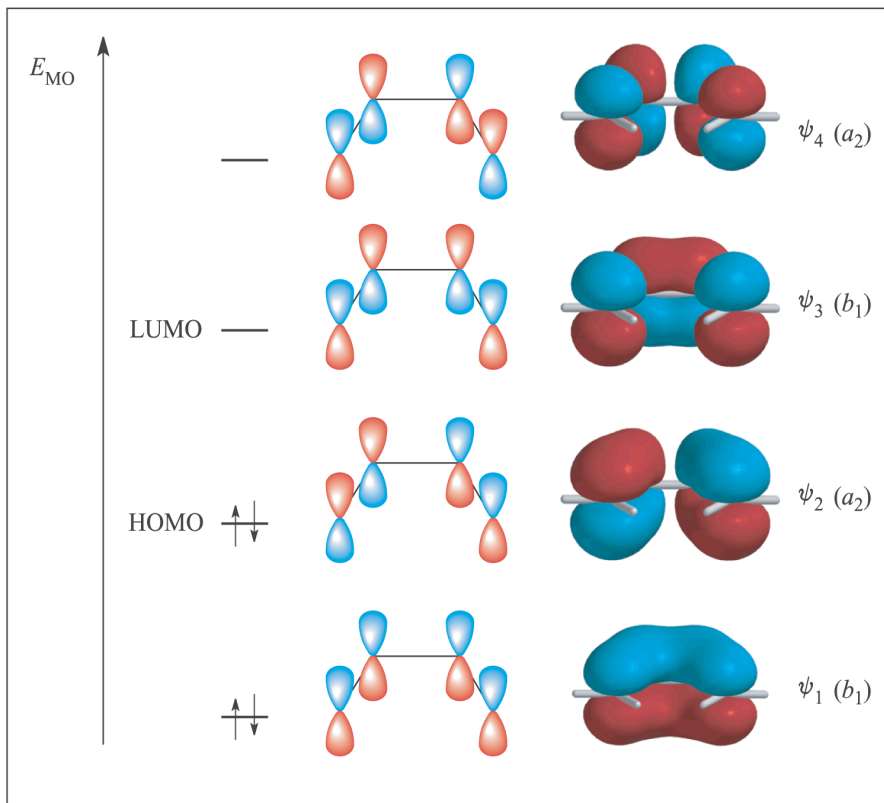




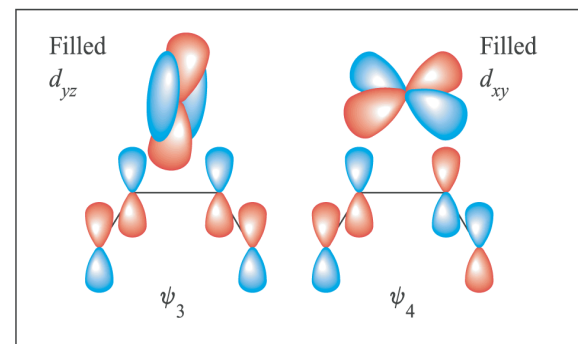
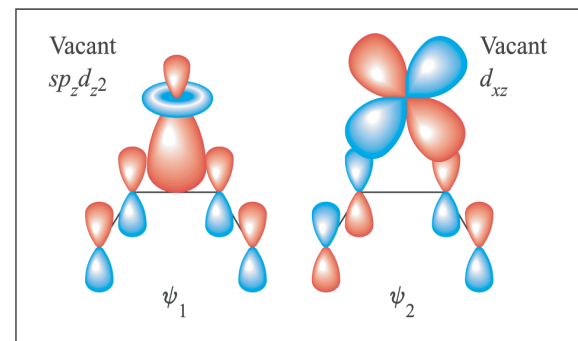
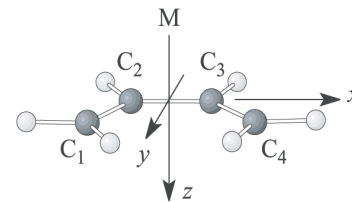


Butadiene -  
giace nel piano  $xy$ ,  
sopra al metallo

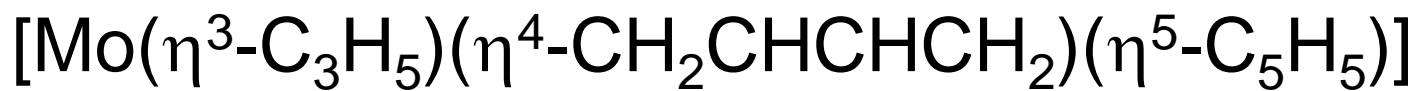
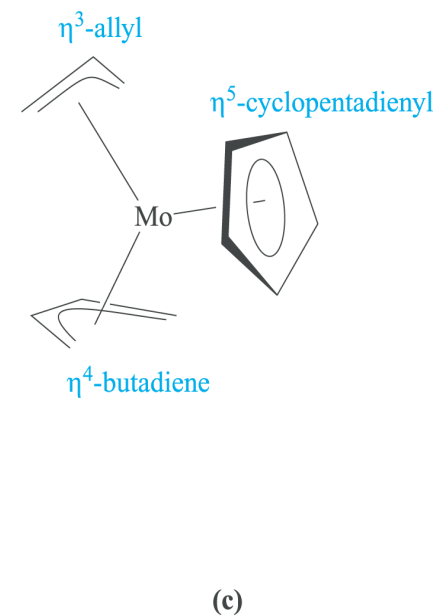
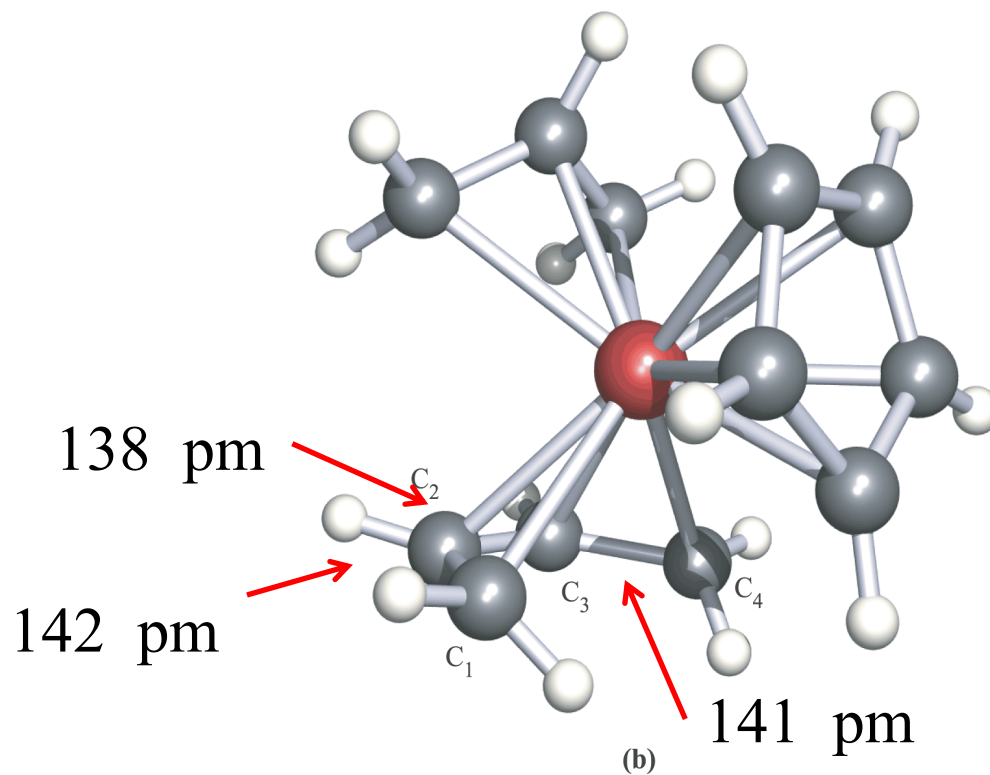


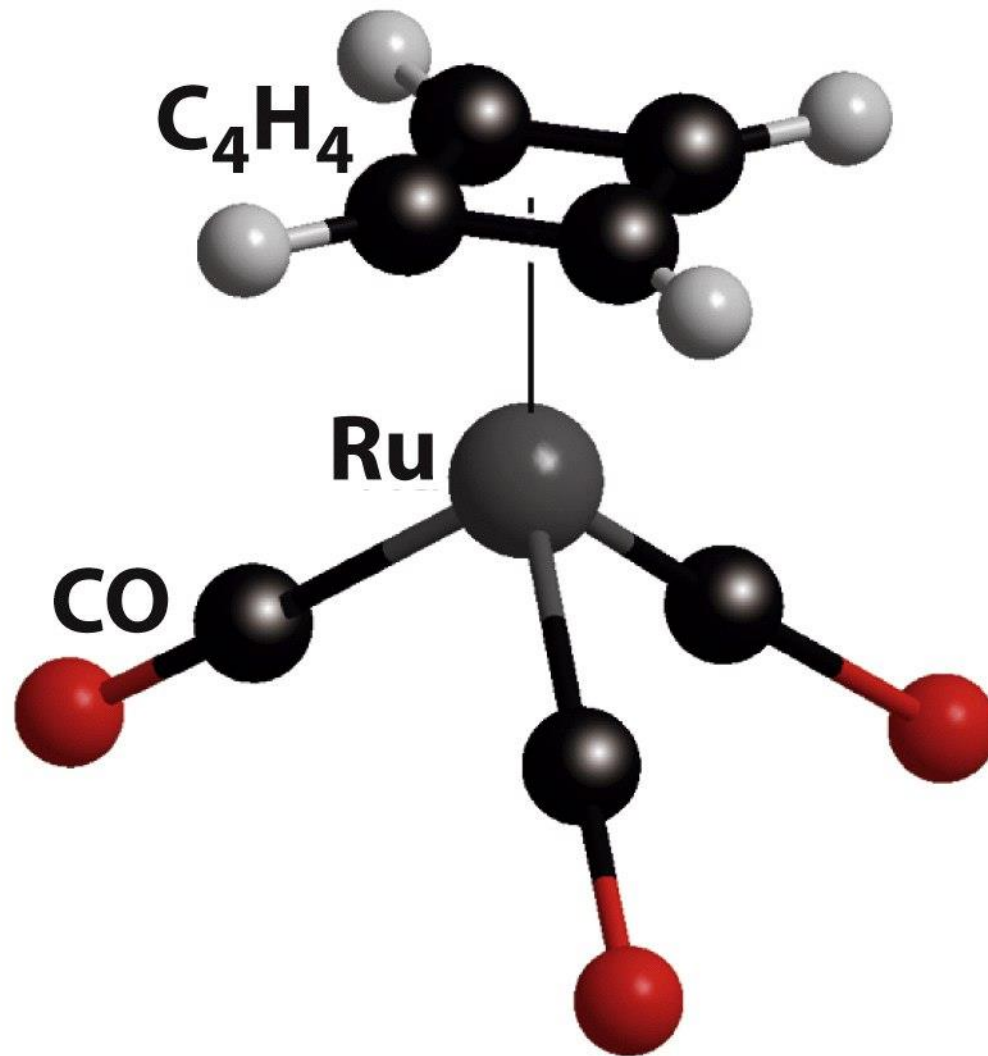


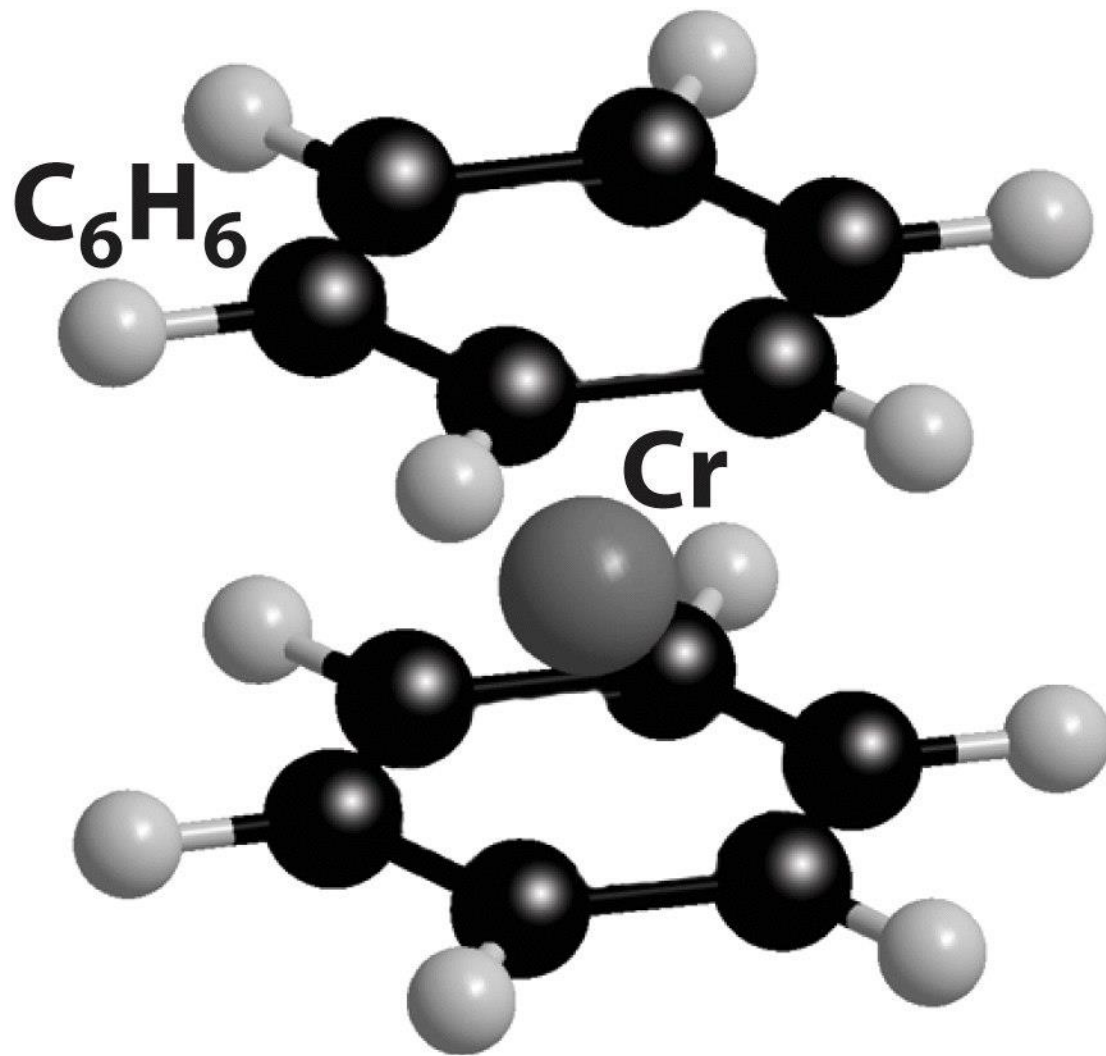
(a)

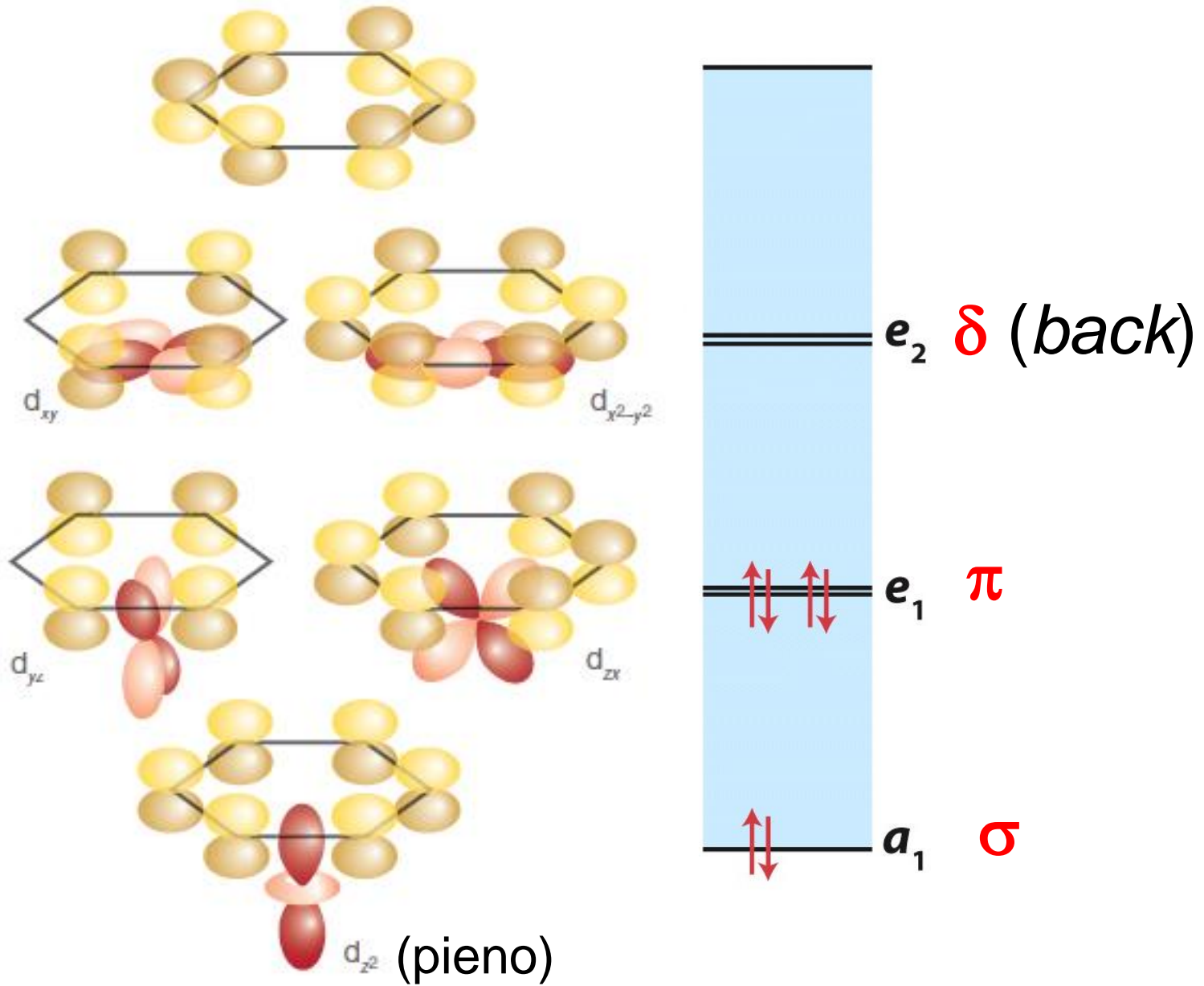


(b)

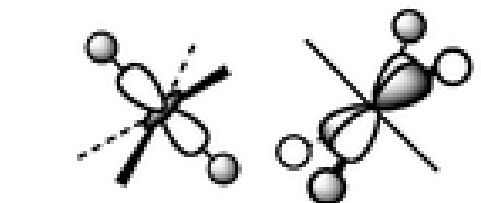
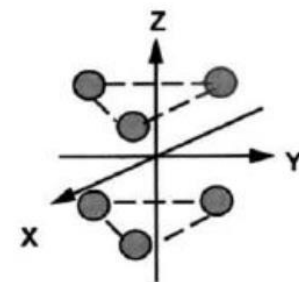
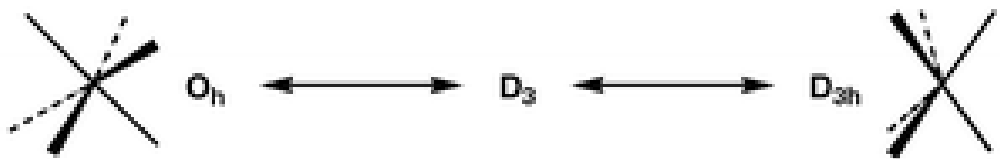




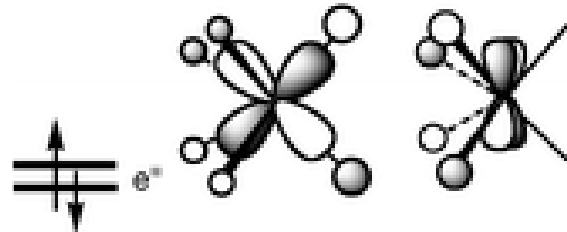
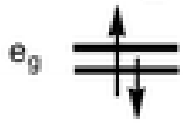




$(n+1)s$  e  $(n+1)p_z$  vuoti

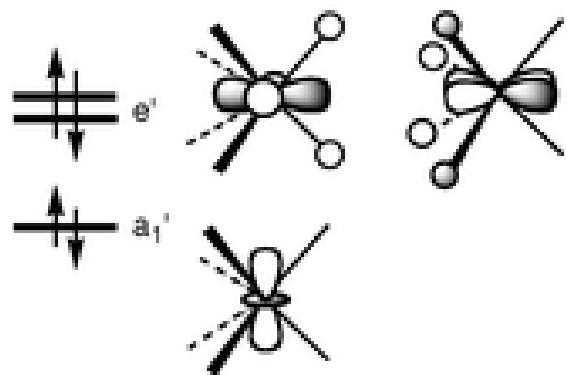
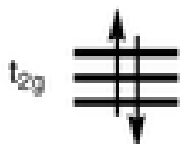


$dz^2$   
 $dx^2-y^2$



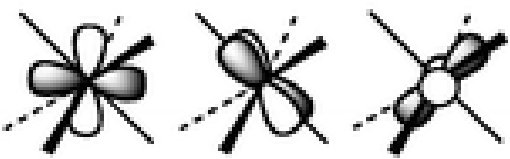
$dxz$   
 $dyz$

$dxz$   
 $dyz$   
 $dxy$

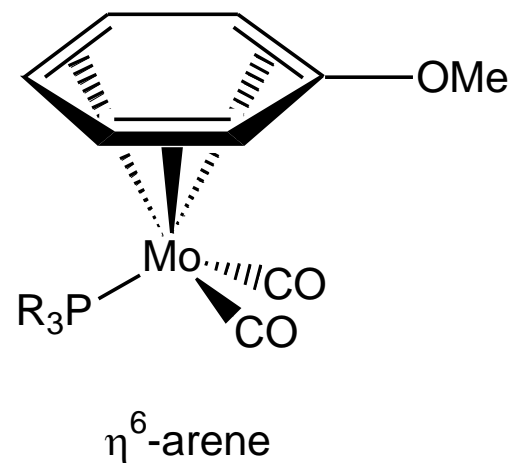
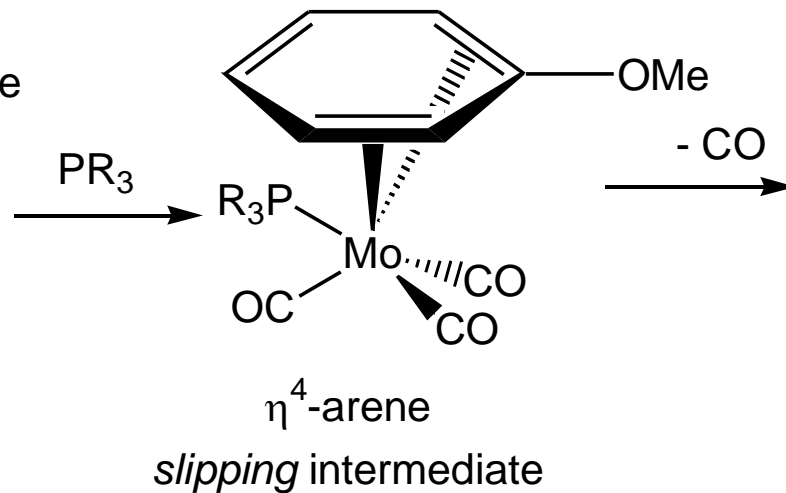
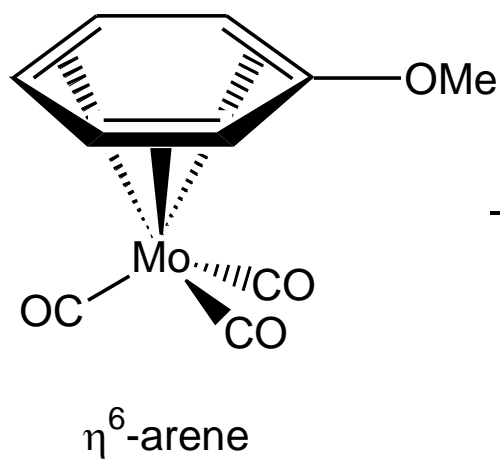
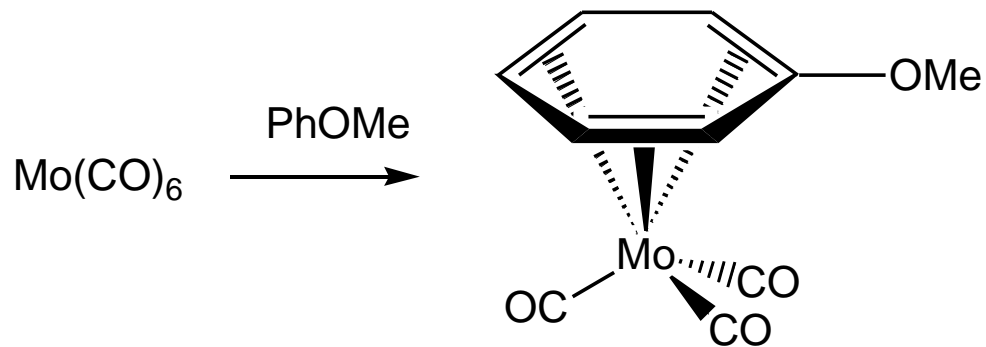


$dxy$ ,  
 $dx^2-y^2$

$dz^2$

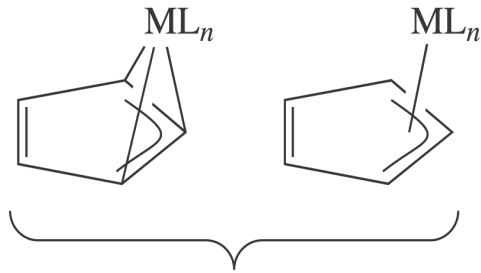




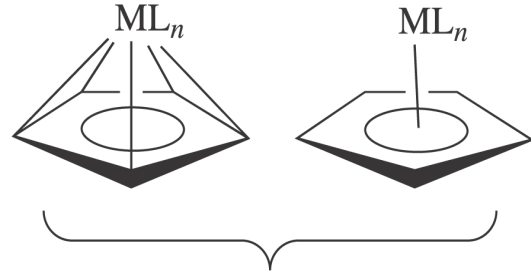




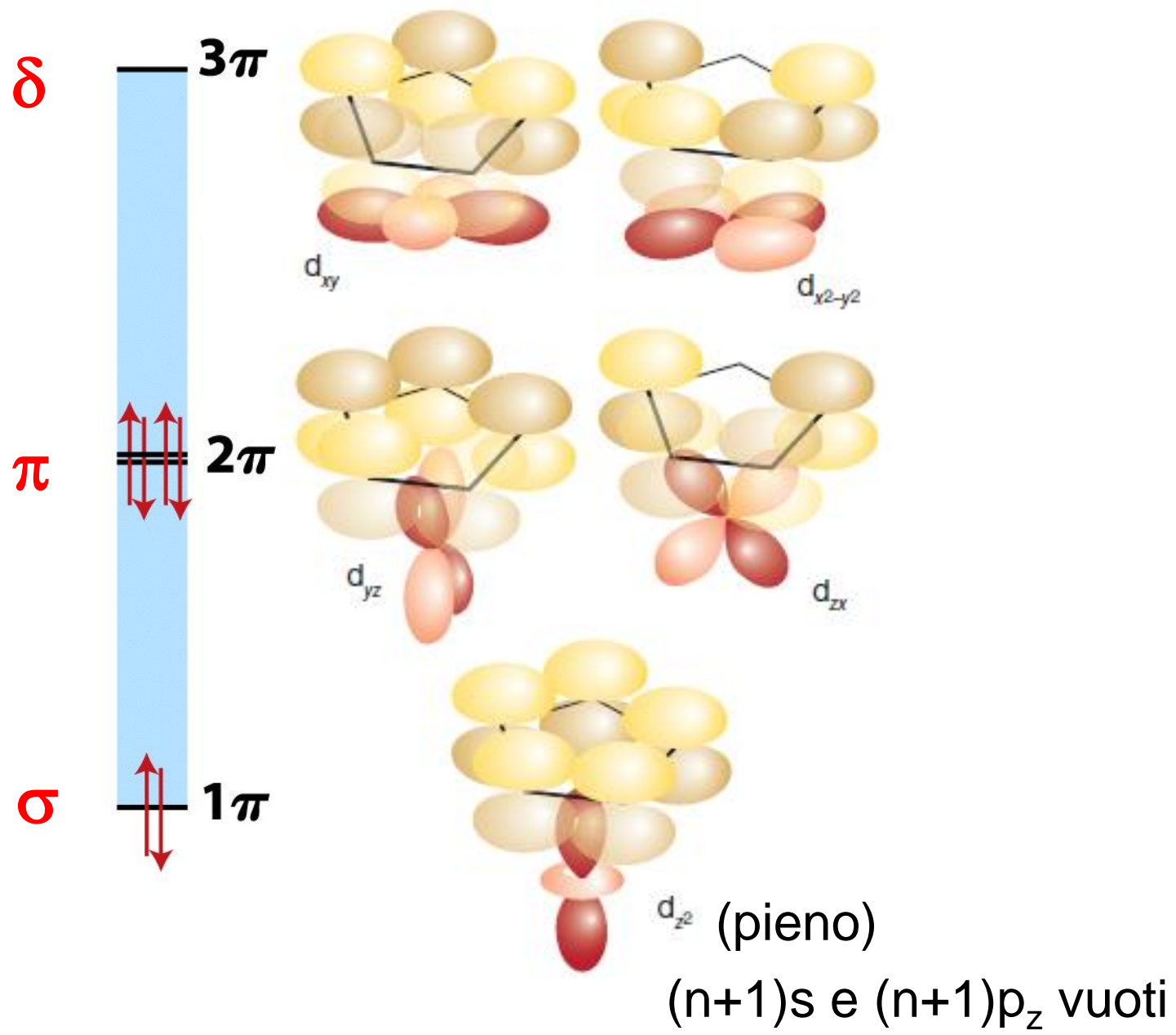
$\eta^1$ -mode

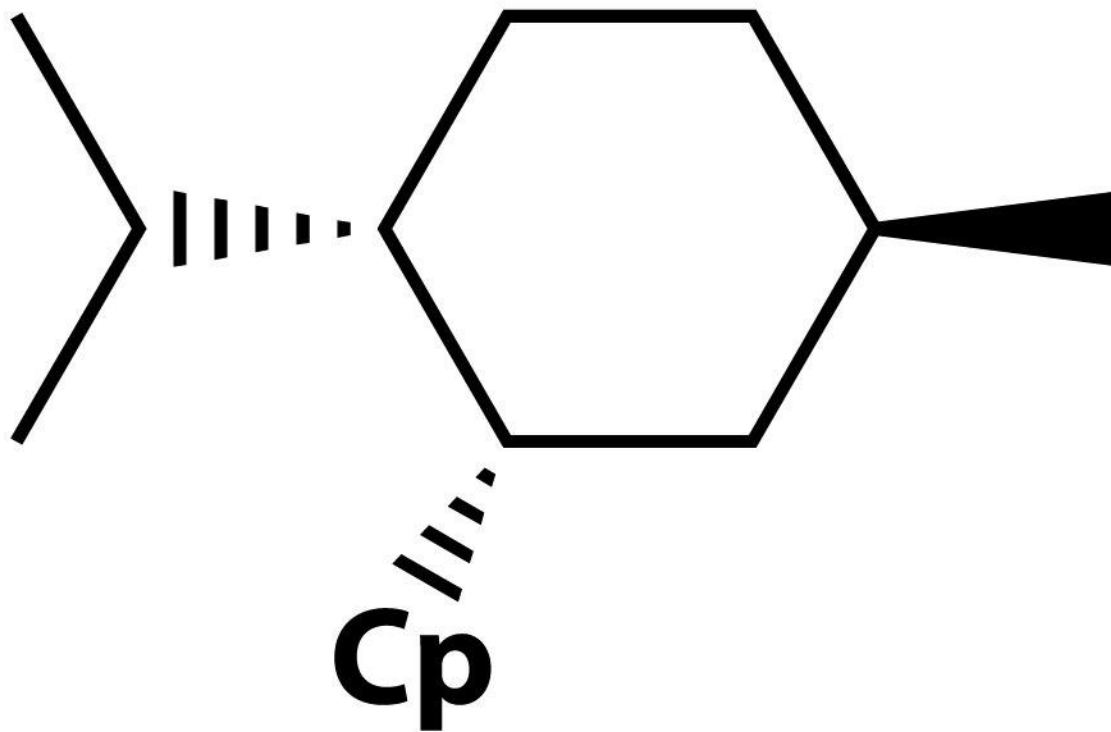


$\eta^3$ -mode



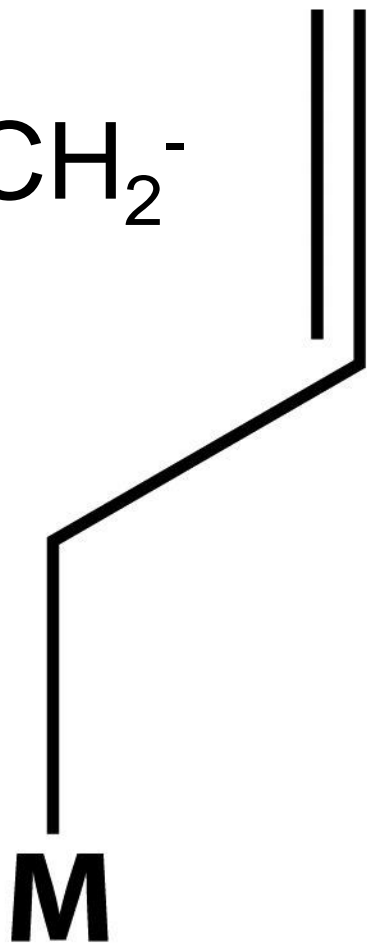
$\eta^5$ -mode



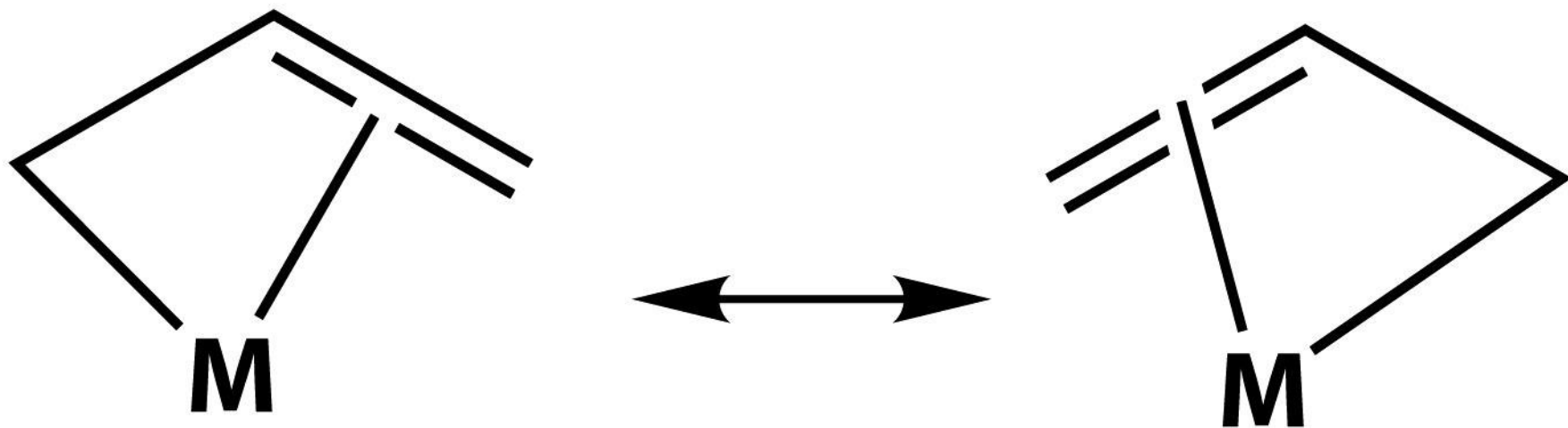


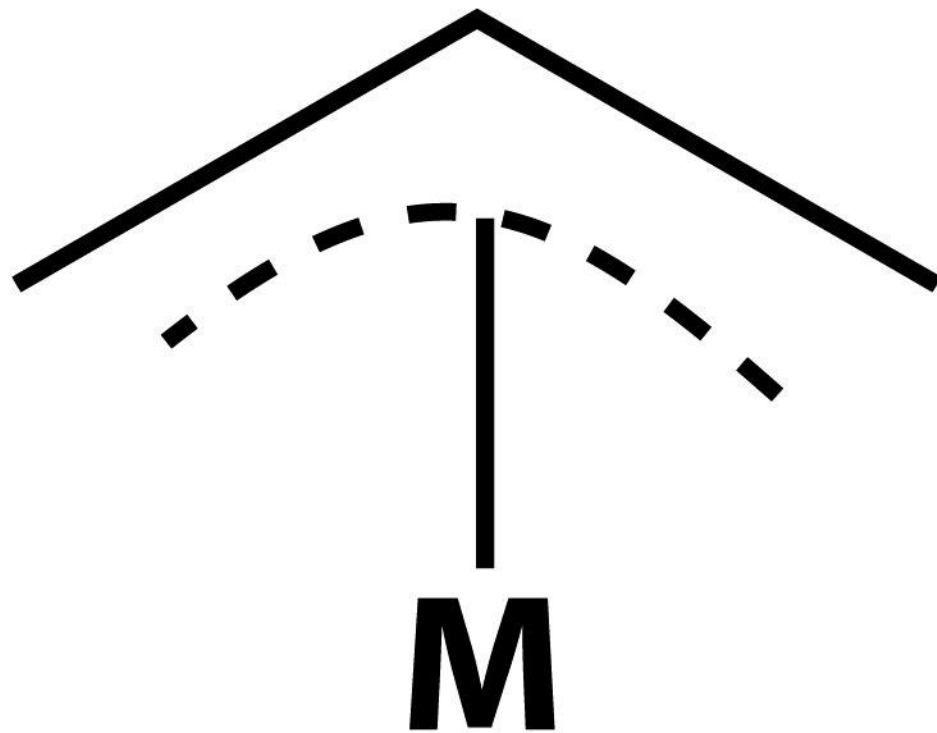
***neo-Menthylcyclopentadienyl***

Allile,  $\text{CH}_2=\text{CH}-\text{CH}_2^-$

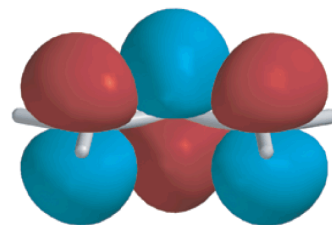
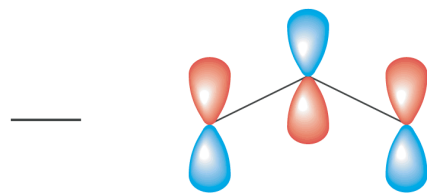


$\eta^1-(\text{CH}_2\text{CH}=\text{CH}_2)$

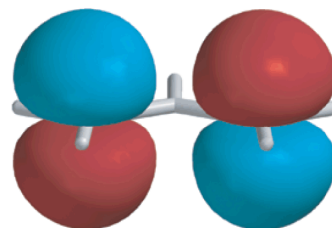
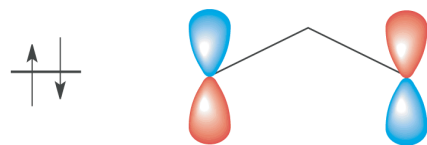




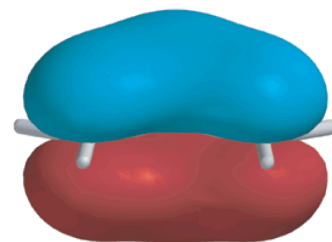
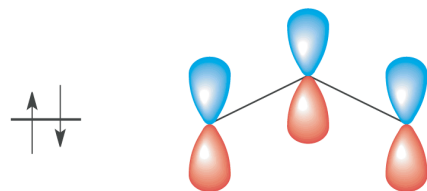
$E_{\text{MO}}$



$\psi_3 (b_1)$  Antibonding



$\psi_2 (a_2)$  Non-bonding

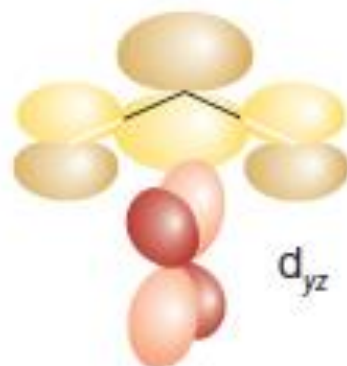


$\psi_1 (b_1)$  Bonding



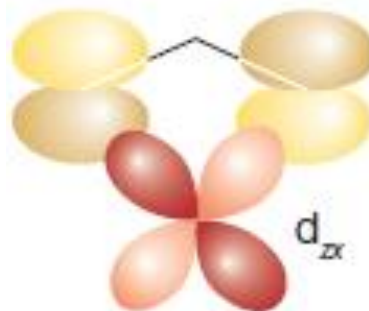
Accettore  $\pi$

$3\pi$



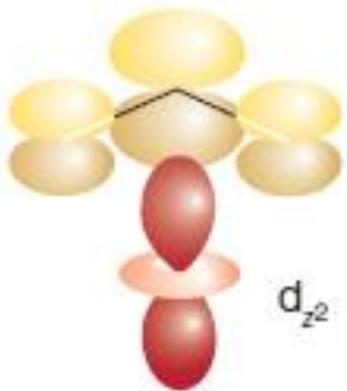
Donatore  $\pi$

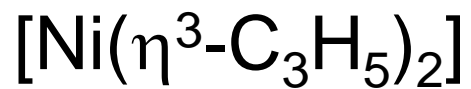
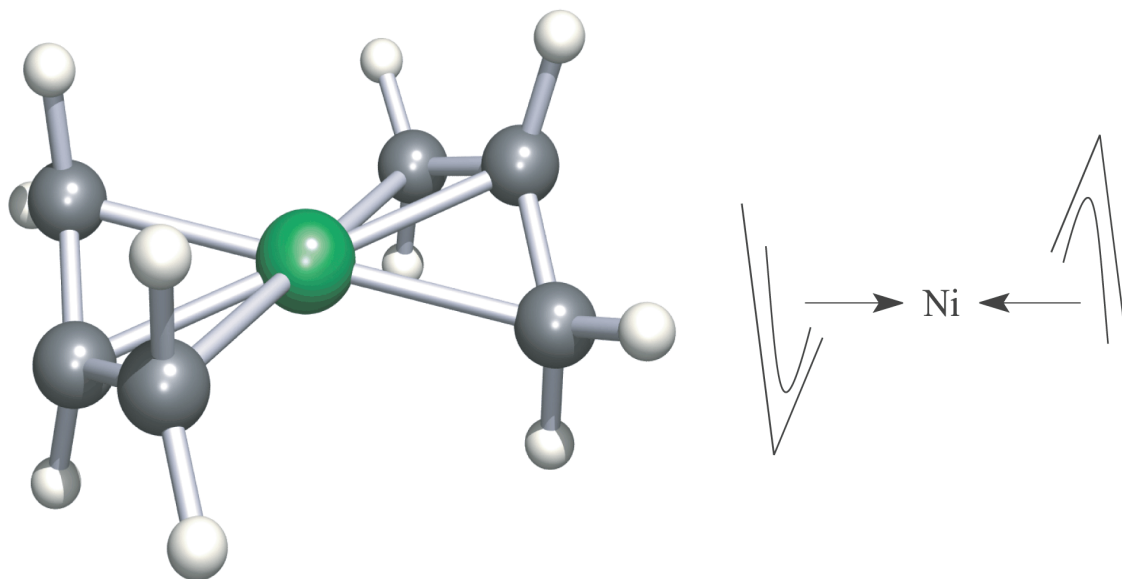
$2\pi$

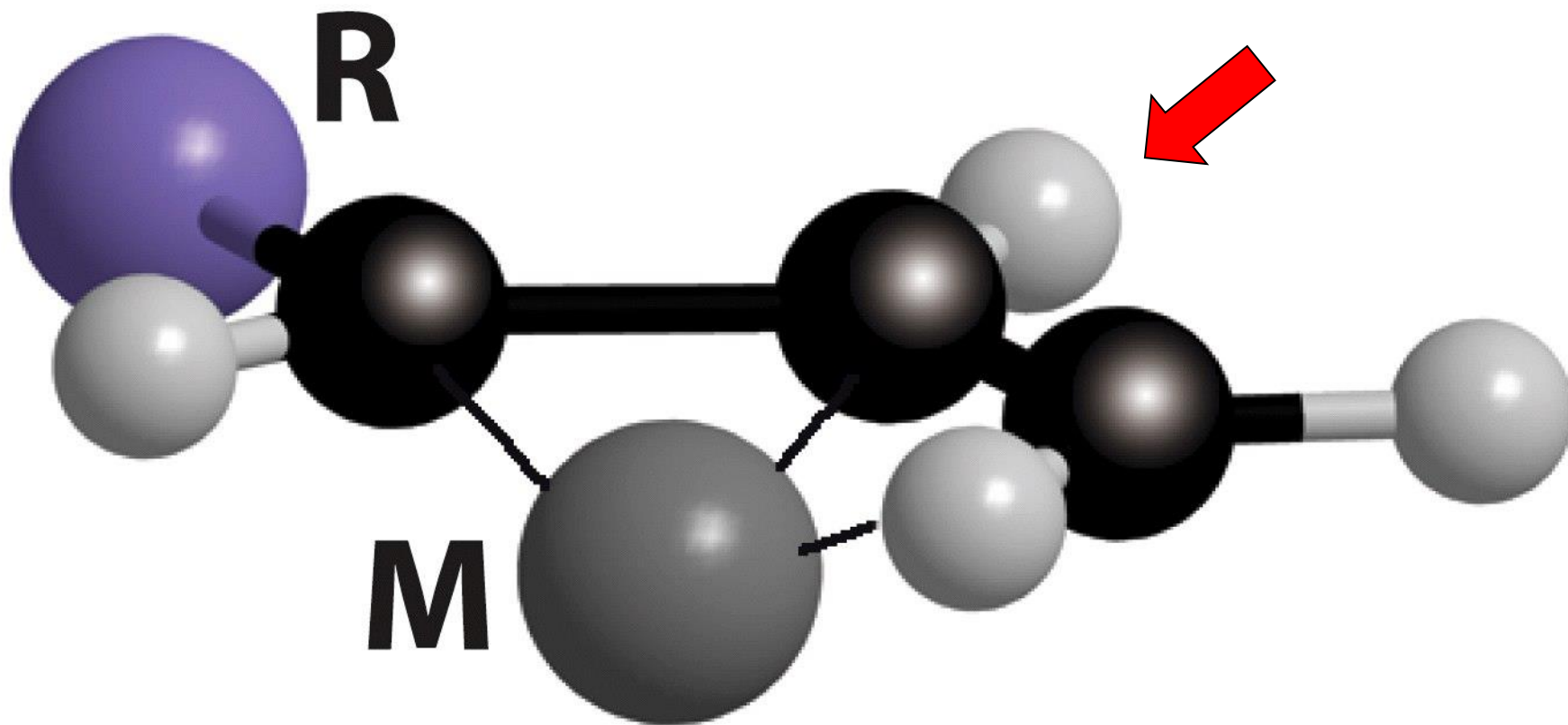


Donatore  $\sigma$

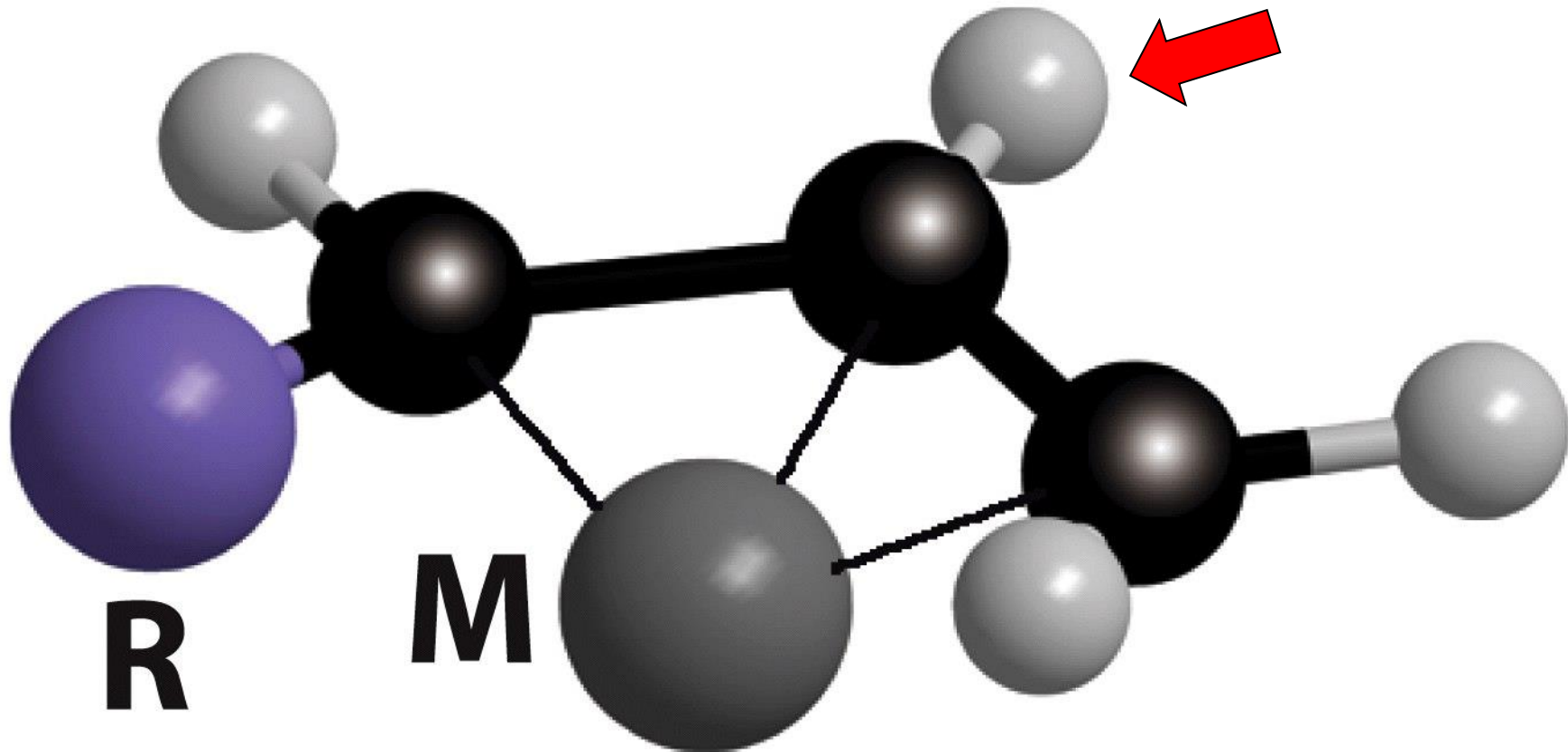
$1\pi$





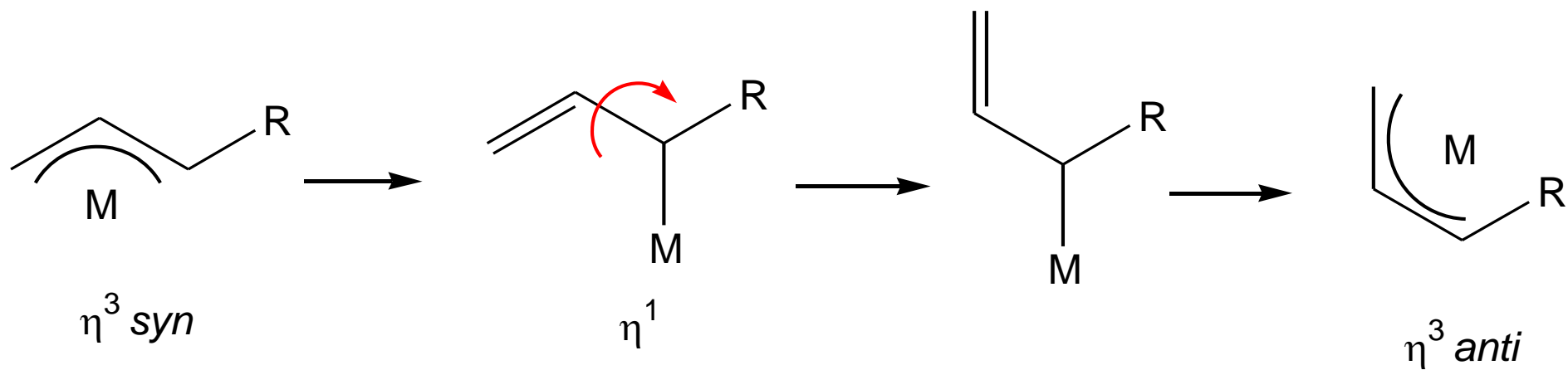
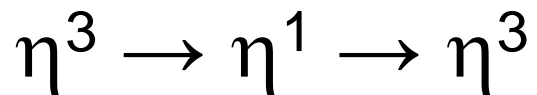


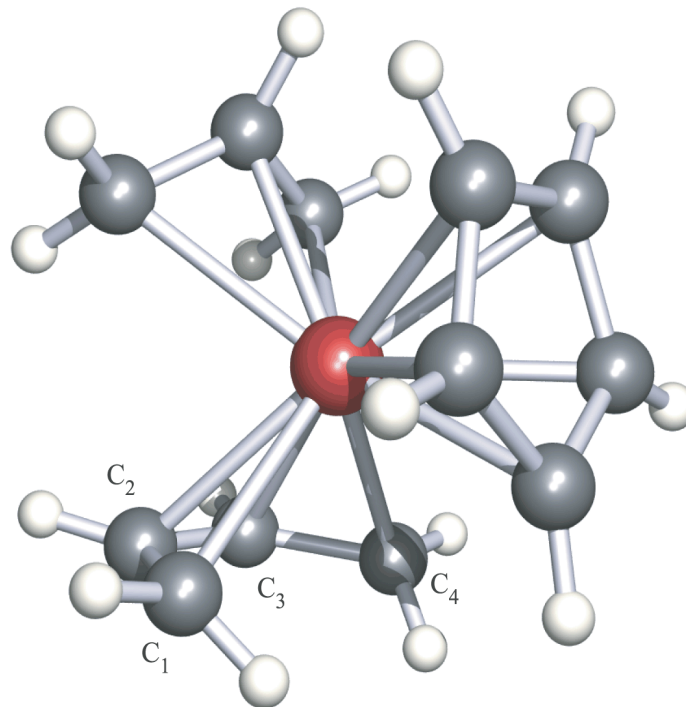
*syn*



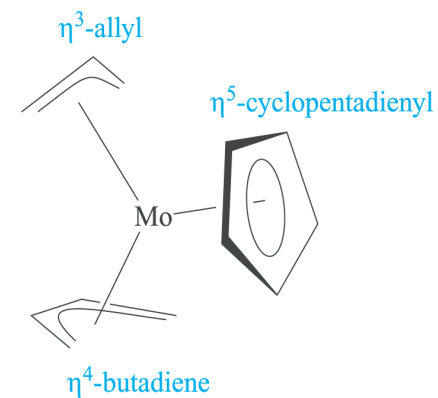
*anti*

# Meccanismo di scambio *syn-anti*





(b)



(c)

